

## II-215 二次元表層密度噴流の実験に関する二・三の問題点について

大阪大学工学部 正員 中辻 啓二  
大阪大学工学部 正員 室田 明  
大阪大学大学院 学生員 藤内 生死

1. まえがき ; 表層密度噴流は周囲流塊の噴流への連行加入がみられる不可逆的な現象であり、二次元有限水路において定常な実験を行なうことは不可能に近い。所与の実験条件を定常に保つためには、連行加入量に見合った塩水を下層へ補給するとか、下流端堰高を調整するとかの人为的操作が是非共必要になる。このために、流动形態、乱れ特性が変形を受けることは避け難く、流动場の十分な吟味と理解が必須となろう。本報告では表層密度噴流の実験に関する問題点を指摘するとともに、流动形態の受ける影響度についても考察する。

2. 実験内容 ; 実験は長さ 6.0m、幅 0.15m、高さ 0.5m の両側面アクリル製水路を用い、所定濃度の塩水を貯留した後に、淡水を表層放流すると同時に下層へ塩水を微調整しながら補給して水質連行を伴う密度噴流を発生させた。放流口水深を 2cm に固定し所与の流速を得るためには、下層からの塩水供給量ならびに下流端堰高を試行錯誤的に調整して定常な表層密度噴流を維持する必要がある。塩水の補給のない場合には、下層塩水の表層淡水噴流への一方的な連行加入のため成層界面は時々刻々低下し、内部跳水の発生位置が放流口に近づくため、流动形態が異なることがしばしば観察される。水理条件は表1 のようである。

RUN	$U_{\infty}$	$H_0$	$\epsilon$	$Q_F$	$Q_S$	$\Delta h$	$u_*$	$\delta$	$Re_\delta$
300	27.5	1.82	0.000	20	48	-0.3	0.92	0.378	1142
305	27.4	1.76	0.005	53	38	-1.1	1.06	0.248	743
310	29.5	1.66	0.010	49	38	-1.1	1.06	0.220	706
200	18.1	1.95	0.000	18	32	+0.2	0.64	0.407	809
205	20.0	1.92	0.005	28	30	-0.2	1.06	0.231	503
210	19.0	1.98	0.010	30	30	-0.2	0.83	0.272	564
100	10.0	1.92	0.000	16	20	+0.5	0.54	0.335	368
105	10.5	1.96	0.005	20	18	+0.6	0.55	0.301	347
110	10.5	1.96	0.010	20	18	+0.6	0.71	0.209	236
	cm/sec	cm		l/min	cm	cm/sec	cm		

表1 水理条件

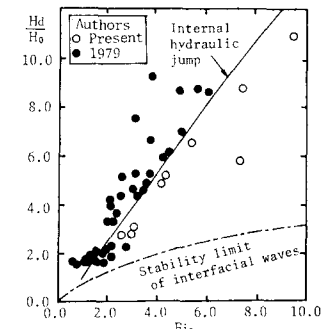


図1 形態分類

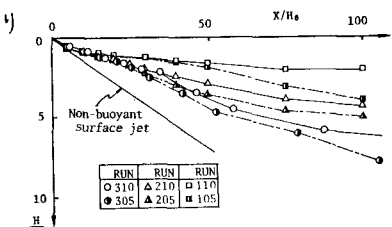


図2 成層界面の流程方向変化

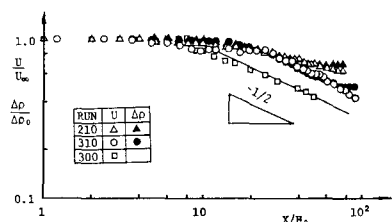


図3 流速・密度の流程方向変化

310においてそれぞれ  $\Delta H_0 = 50, 70$  付近で横ばいになり、下層からの塩水の連行加入は減少している。換言すれば、成層化し始めていることを示している。

このような浮力効果の働く断面においても平均流速、平均密度の鉛直方向分布は図4に示されるように自己保存性が保たれ相似分布となるのは興味深い。図5は今回の塩水供給量の妥当性を検証するために、 Ellison-Turner, 林およびKohの提案した実験式を用いて流速、密度の流程方向分布から求めた総連行加入量と塩水供給量との比較を示したものである。同図より塩水量供給過多の傾向もあるが、総連行加入量と見合うほぼ妥当な塩水供給量であることを示している。<sup>1)</sup>

以上の結果から、今回の実験において表層密度噴流の発生が確認されると同時に、有限な水路で定常な表層密度噴流を発生させるためには表1に示したように表層放流量と同程度の塩水供給量を必要とすることが、認識される。とくに、今回の実験においては放流水口深を固定したために塩水供給に併せて下流端堰高の大幅な調整が必要となった。平均量特性を合わせるために人為的な操作が、噴流の発達過程に微妙な影響を与えることは十分に予想されることであり、噴流の実験を遂行するにあたって周到な検討が必要となろう。

4. 放流口における流速分布特性； 噴流の混合層の発達には組織立った大規模渦動の発達・合体過程が深く関与し、この大規模渦動の発生は放流水路における境界層の特性によって規定される。表1に実測により得られた放流口での平均流速分布を用いて求めた境界層諸量  $S$  を示してある。図6は、 $U_\infty$  が約30 cm/sec の分布の一例である。Run 300の場合、密度噴流よりも壁面付近の流速の減少が大きく、排除厚：運動量厚とともに大きくなり層流的である。また、図7は、平均流速の対数分布 ( $\Delta f = 0.005$  の場合) であり、十分に発達した乱流境界層において成立する Nikuradse の対数則との比較を行なっている。Run 205, 105においてはほぼ Nikuradse の結果が成立して乱流境界層を示すのに対し、比較的レイノルズ数の大きい Run 305 の場合は層流的な境界層であると考えられる。放流口の平均量で定義されたレイノルズ数がほぼ同一の場合においても、また限界レイノルズ数を越えているにもかかわらずこのような層流的あるいは乱流的流速分布が現われるのは、前節で示したような下流端堰高等に下層からの供給量の人為的な操作が顕著な影響を及ぼしているものと考えられる。つまり、下層への塩水供給の結果下流側水面が上昇し、放流口での圧力勾配が  $0 \neq dP/dx > 0$  となる結果生じたものと思われる。圧力勾配の影響も含めて論じられた Schlichting の教科書にみられる安定限界の図によると、排除厚  $S$  を用いて定義されたレイノルズ数  $R_{es}$  が大きくなるにつれて、層流→乱流→層流という遷移を示し、その際圧力勾配の違いによってそれらの遷移点は異なる。今回の実験は、速度分布の形状因子  $\Delta$  が -5 の場合に相当しており、下層への過剰供給が流程方向に圧力増大をもたらしたものと考えられる。以上のように、自由水面を有する表層密度噴流では放流口近傍での流程方向圧力勾配の急変等特有な現象を呈し、それが境界層諸量、ひいては混合層の発達段階で観られる大規模渦動の特性に影響を及ぼすことが予想される。これらの境界層諸量が流程方向のどの範囲まで影響を持续し得るかは噴流の拡がり・連行過程を考えるうえで興味深いことである。

参考文献 1) 室田・中辻・藪内；昭和56年度 関西支部年次学術講演会概要集, 1981.

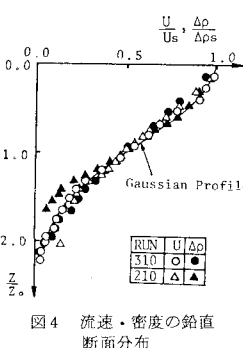


図4 流速・密度の鉛直断面分布

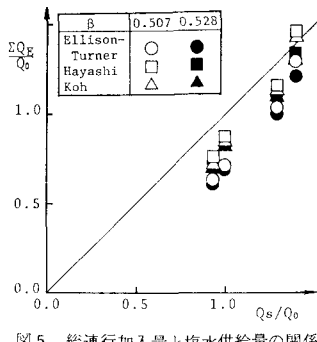


図5 総連行加入量と塩水供給量の関係

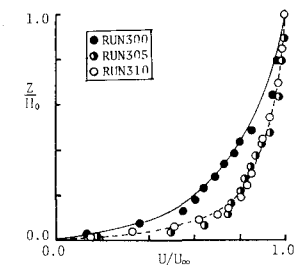


図6 放流口での流速分布

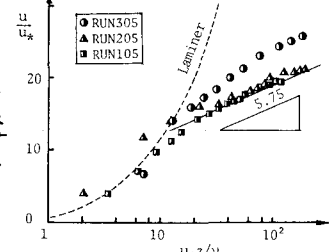


図7 放流口での流速分布